

Математическое моделирование физических процессов

Научная статья

УДК 532.517.4

DOI: <https://doi.org/10.18721/JPM.15102>

АЛГЕБРАИЧЕСКАЯ МОДЕЛЬ ЛАМИНАРНО-ТУРБУЛЕНТНОГО ПЕРЕХОДА ДЛЯ РАСЧЕТА ТУРБУЛЕНТНЫХ ТЕЧЕНИЙ НА ОСНОВЕ МЕТОДА МОДЕЛИРОВАНИЯ ОТСОЕДИНЕННЫХ ВИХРЕЙ

А. С. Стабников ✉, **А. В. Гарбарук**

Санкт-Петербургский политехнический университет Петра Великого,

Санкт-Петербург, Россия

✉ an.stabnikov@gmail.com

Аннотация. Предложен новый глобальный гибридный вихреразрешающий подход DDES SST KD, предназначенный для расчета отрывных течений при наличии перехода в присоединенном пограничном слое. Подход базируется на разработанной авторами модели перехода, основанной на полуэмпирической модели турбулентности SST и алгебраической модели перехода $k-\omega$ KD. На примере задачи об обтекании цилиндра и сферы в широком диапазоне чисел Рейнольдса продемонстрировано преимущество предложенного подхода над оригинальным методом DDES SST.

Ключевые слова: турбулентность, вихреразрешающий метод, RANS/LES, DDES, модель ламинарно-турбулентного перехода, кризис сопротивления

Финансирование: Исследование выполнено при финансовой поддержке РФФИ в рамках научного проекта № 19-31-90046.

Для цитирования: Стабников А. С., Гарбарук А. В. Алгебраическая модель ламинарно-турбулентного перехода для расчета турбулентных течений на основе метода моделирования отсоединенных вихрей // Научно-технические ведомости СПбГПУ. Физико-математические науки. 2022. Т. 15. № 1. С 16–29. DOI: <https://doi.org/10.18721/JPM.15102>

Статья открытого доступа, распространяемая по лицензии CC BY-NC 4.0 (<https://creativecommons.org/licenses/by-nc/4.0/>)

Original article

DOI: <https://doi.org/10.18721/JPM.15102>

AN ALGEBRAIC TRANSITION MODEL FOR SIMULATION OF TURBULENT FLOWS BASED ON A DETACHED EDDY SIMULATION APPROACH

A. S. Stabnikov ✉, **A. V. Garbaruk**

Peter the Great St. Petersburg Polytechnic University, St. Petersburg, Russia

✉ an.stabnikov@gmail.com

Abstract. A new hybrid RANS/LES method DDES SST KD is proposed, aimed at computations of flows with separation and laminar-turbulent transition in the attached boundary layer. The method is based on a new transition model which uses the SST turbulence model

and k - ω KD transition model as a basis. The resulting approach is then tested on a drag crisis problem flows around a circular cylinder and a sphere. The results show that the proposed method is an improvement relative to DDES SST.

Keywords: turbulence, hybrid RANS/LES, DDES, laminar-turbulent transition model, drag crisis

Funding: The reported study was funded by RFBR, project number 19-31-90046.

For citation: Stabnikov A. S., Garbaruk A. V., An algebraic transition model for simulation of turbulent flows based on a Detached Eddy Simulation approach, St. Petersburg Polytechnical State University Journal. Physics and Mathematics. 15 (1) (2022) 16–29. DOI: <https://doi.org/10.18721/JPM.15102>

This is an open access article under the CC BY-NC 4.0 license (<https://creativecommons.org/licenses/by-nc/4.0/>)

Введение

С ростом производительности вычислительных ресурсов для расчета турбулентных течений все чаще применяются глобальные гибридные вихререзающие подходы, комбинирующие уравнения Навье – Стокса, осредненные по Рейнольдсу (*англ.* Reynolds Averaged Navier – Stokes (RANS)) и метод моделирования крупных вихрей (*англ.* Large Eddy Simulation (LES)). Среди них наиболее успешными являются методы семейства DES (*англ.* Detached Eddy Simulation, метод моделирования отсоединенных вихрей), в рамках которых в RANS-подобластях потока, включающих присоединенные пограничные слои, используется базовая полуэмпирическая модель турбулентности, а в LES-подобластях, в том числе и в зонах рециркуляции потока, – подсеточная модель, построенная на ее основе. При этом переключение между RANS и LES выполняется динамически в процессе решения на основе локальных характеристик потока и расчетной сетки. Признано [1], что среди методов этого семейства для решения прикладных задач наиболее подходящей является модификация DES, получившая название DDES (*англ.* Delayed Detached Eddy Simulation, метод моделирования отсоединенных вихрей с запаздыванием) [2].

Поскольку модель турбулентности SST (Shear Stress Transport) [3] считается одной из лучших, если не лучшей полуэмпирической моделью турбулентности, методы, построенные на ее основе, потенциально более точны, по сравнению с методами, основанными на других моделях. Однако обычно полуэмпирические модели, на основе которых строятся гибридные подходы, в том числе и модель SST, не включают в себя механизмов описания ламинарно-турбулентного перехода в пограничном слое. Это может приводить к снижению точности расчета, поскольку в большинстве течений пограничный слой не является турбулентным на всем своем протяжении. Турбулентному участку, как правило, предшествует ламинарный участок той или иной протяженности, который может значительно влиять на характеристики течения в целом. Это влияние проявляется не только при умеренных, но и при высоких числах Рейнольдса, особенно при наличии отрыва от гладкой поверхности. Классическим примером влияния перехода на отрывные течения служит кризис сопротивления плохообтекаемых тел, подробно описанный Л. Г. Лойцянским [4]. Кризис заключается в том, что при повышении числа Рейнольдса присоединенный пограничный слой турбулизуется до отрыва, а это приводит к смещению точки отрыва и резкому падению коэффициента сопротивления.

Таким образом, точность гибридных подходов в некоторых случаях можно повысить путем использования моделей RANS, способных учитывать ламинарно-турбулентный переход (так называемых моделей перехода), в качестве базовой.

К настоящему времени создано большое количество моделей перехода. Большинство из них базируется на решении дифференциальных уравнений переноса вспомогательных величин, таких как перемежаемость γ , критическое число Рейнольдса Re_0 , ламинарная кинетическая энергия k_l или других. Следует отметить, что существующие модели перехода еще далеки от совершенства, а наиболее точной среди них считается SST γ - Re_0 [5], демон-

стрирующая приемлемую точность предсказания положения перехода для широкого круга течений. В рамках этой модели производится решение четырех дифференциальных уравнений (двух для характеристик турбулентности k и ω , а также двух для вспомогательных величин: перемежаемости γ и критического числа Рейнольдса Re_θ). Хотя модель SST γ - Re_θ за счет возможности описания перехода различных сценариев превосходит по точности базовую модель SST, ее использование связано с повышением вычислительных затрат, необходимых для получения сошедшегося решения, а иногда сходимости итерационного процесса достичь не удается вовсе [6, 7]. Эти проблемы не являются специфическим недостатком модели γ - Re_θ , они характерны и для других, менее точных дифференциальных моделей перехода. Следует отметить, что эти недостатки «наследуются» гибридными вихререзающими подходами, основанными на использовании дифференциальных моделей перехода в качестве базовых RANS-моделей. Это, как и в случае RANS, может приводить к вычислительным проблемам, которые выражаются в отсутствии сходимости итераций на шаге по времени и увеличении времени расчета.

В последнее время все больше усилий прикладывается к разработке алгебраических моделей перехода, в рамках которых не решаются дополнительные дифференциальные уравнения для характеристик перехода. Эти модели кажутся весьма перспективными, поскольку их отличает от дифференциальных простота в использовании, лучшая сходимость и сравнительно небольшое количество дополнительных вычислений относительно базовых моделей турбулентности, на основе которых они построены. В связи с этим, весьма многообещающим представляется применение в рамках гибридных подходов алгебраических моделей перехода, что и определило направление данной работы.

В настоящей работе предлагается новый гибридный метод DDES SST KD, в котором в качестве базовой модели применяется комбинация алгебраической модели перехода и уравнений переноса k и ω (такой подход используется впервые). Составными частями предлагаемого метода являются метод DDES в сочетании с линейным подсеточным масштабом, адаптированным к слоям смешения (*англ.* Shear Layer Adapted) Δ SLA, позволяющим ускорить появление разрешенных турбулентных структур в оторвавшихся слоях смешения, и модель SST, дополненная алгебраическими соотношениями для определения положения ламинарно-турбулентного перехода из модели k - ω KD (Kubacki – Dick) [8]. Поскольку в оригинальной работе [8] соотношения модели KD были построены для применения с моделью турбулентности k - ω Wilcox [9], они были существенно переработаны для использования совместно с моделью SST (детали см. ниже в разделе «Формулировка предлагаемого метода»). Преимущества предлагаемого подхода перед оригинальным методом DDES SST демонстрируются на примере расчета задач о кризисе сопротивления при обтекании сферы и круглого цилиндра.

Модель и метод были имплементированы в рамках академического конечно-объемного кода NTS (*англ.* Numerical Turbulence Simulation) [10], использующего для решения несжимаемых уравнений движения метод расщепления разностей векторов потоков Роджерса – Квака [11], основанный на комбинации схемы расщепления разностей векторов газодинамических потоков и метода введения искусственной сжимаемости Яненко – Чорина [12]. Код NTS работает на многоблочных структурированных перекрывающихся сетках (технология Chimera), что позволяет применять схемы повышенного порядка аппроксимации и также предоставляет возможность проводить расчеты течений со сложной геометрией.

При проведении расчетов при помощи гибридных RANS-LES-подходов важную роль играет способ аппроксимации невязких составляющих векторов потоков в уравнениях переноса, определяющий диссипативные свойства схемы, требования к которым различны в разных областях течения: в RANS-подобласти схема должна обеспечивать устойчивость решения, а в LES-подобластях необходимо использовать низкодиссипативные схемы, обеспечивающие разрешение мелкомасштабной турбулентности. В настоящей работе для этой цели использовалась гибридная схема [13], реализующая противопоточную схему 3-го порядка точности в RANS-областях и центрально-разностную схему 4-го порядка точности в LES-областях потока.

Формулировка предлагаемого метода

Алгебраическая модель перехода SST KD. Указанная модель базируется на модифицированных уравнениях переноса турбулентных характеристик модели SST [3]:

$$\begin{cases} \frac{\partial k}{\partial t} + \frac{\partial(u_k k)}{\partial x_k} = \gamma P_k + (1-\gamma)P_{sep} - \beta^* \omega k + \frac{\partial}{\partial x_k} \left[(v + \sigma_k v_t) \frac{\partial k}{\partial x_k} \right], \\ \frac{\partial \omega}{\partial x_k} + \frac{\partial(u_k \omega)}{\partial x_k} = P_k - \beta \omega^2 + \frac{\partial}{\partial x_k} \left[(v + \sigma_\omega v_t) \frac{\partial \omega}{\partial x_k} \right] + 2(1-F_1) \frac{\sigma_{\omega 2}}{\omega} \frac{\partial k}{\partial x_k} \frac{\partial \omega}{\partial x_k}, \end{cases} \quad (1)$$

где k , $\text{м}^2 \cdot \text{с}^{-2}$, – кинетическая энергия турбулентности; ω , с^{-1} , – удельная скорость диссипации; v , $\text{м}^2 \cdot \text{с}^{-1}$, – кинематический коэффициент вязкости; v_t , $\text{м}^2 \cdot \text{с}^{-1}$, – турбулентная вязкость; u_k , $\text{м} \cdot \text{с}^{-1}$, – компоненты скорости; x_k , м , – компоненты координат; t , с , – время. Пояснение к величинам P_k , P_{sep} будет дано ниже (см. ф-лы (8) и (11)).

Функция F_1 определяется выражением

$$F_1 = \tanh(\arg_1^4), \quad \arg_1 = \min \left[\max \left(\frac{\sqrt{k}}{\beta^* \omega d_w}, \frac{500v}{\omega d_w^2} \right), \frac{2k\omega}{d_w^2 (\nabla k) \cdot (\nabla \omega)} \right], \quad (2)$$

где d_w – расстояние до стенки, а константы модели SST имеют следующие значения:

$$\begin{aligned} \sigma_k &= F_1 \sigma_{k1} + (1-F_1) \sigma_{k2}, \quad \sigma_{k1} = 0,85, \quad \sigma_{k2} = 1,0, \\ \sigma_\omega &= F_1 \sigma_{\omega 1} + (1-F_1) \sigma_{\omega 2}, \quad \sigma_{\omega 1} = 0,5, \quad \sigma_{\omega 2} = 0,856, \\ \beta &= F_1 \beta_1 + (1-F_1) \beta_2, \quad \beta_1 = 0,075, \quad \beta_2 = 0,0828, \\ \beta^* &= 0,09, \quad \alpha = \beta / \beta^* - \sigma_\omega k^2 / \sqrt{\beta^*}. \end{aligned} \quad (3)$$

Уравнения (1) имеют три отличия от уравнений оригинальной модели SST, введенные для ее использования совместно с моделью перехода KD, в рамках которой турбулентная вязкость v_t разделяется на две составляющие: мелкомасштабную v_s и крупномасштабную v_l . Таким образом,

$$v_t = v_s + v_l. \quad (4)$$

$$v_s = a_s k_s / \max[a_s \omega, F_2 S], \quad v_l = a_l k_l / \max[a_l \omega, F_2 S];$$

здесь

$$k_s = f_{SS} k; \quad k_l = k - k_s; \quad f_{SS} = \exp \left[- \left(\frac{C_{SS} v \Omega}{k} \right)^4 \right]; \quad (5)$$

$$C_{SS} = C_S (1,0 + C_A f_W \Psi); \quad f_W = 1 - \tanh \left(\frac{k}{C_W v \omega} \right); \quad \Psi = \tanh \left(\frac{-\Omega(S - \Omega)}{C_\Psi (\beta^* \omega)^2} \right); \quad (6)$$

$$F_2 = \tanh(\arg_2^2), \quad \arg_2 = \max \left(2\sqrt{k} / (0,09 \omega d_w), 500v / (d_w^2 \omega) \right) \quad (7)$$

(S , Ω – модули тензоров скоростей деформаций и завихренности, соответственно).

Упомянутые выше отличия состоят в следующем.

1. Генерация кинетической энергии турбулентности P_k рассчитывается при помощи мелкомасштабных вязкости и кинетической энергии:

$$P_k = \min\left(-\overline{u'_i u'_j} \partial U_i / \partial x_j, 10 \cdot \beta^* k \omega\right), \quad (8)$$

$$\overline{u'_i u'_j} = (2/3) k_s \delta_{ij} - 2\nu_s S_{ij}. \quad (9)$$

2. Генерационное слагаемое в уравнении (1) для k умножается на коэффициент перемежаемости γ :

$$P_k \rightarrow \gamma P_k. \quad (10)$$

3. Для описания перехода к турбулентности в оторвавшемся ламинарном пограничном слое, в уравнение (1) для k добавляется дополнительное слагаемое $(1 - \gamma)P_{sep}$, где величина P_{sep} , позаимствованная в упрощенном виде из дифференциальной модели [14], рассчитывается по следующим формулам:

$$P_{sep} = C_{sep} F_{sep} \nu S^2; \quad (11)$$

$$F_{sep} = \min\left(\max\left(\frac{R_V}{2,2A_V} - 1, 0, 0, 0\right), 1, 0\right); \quad R_V = \frac{d_w^2 S}{\nu}. \quad (12)$$

Коэффициент перемежаемости, входящий в модель, определяется следующим выражением:

$$\gamma = \min\left(\max\left(\frac{k}{\nu A_\gamma \Omega} - 1, 0, 0, 0\right), 1, 0\right). \quad (13)$$

Основное отличие алгебраических соотношений, используемых в предлагаемом методе, от оригинальной модели KD [8] состоит в изменении критерия в формулах (5) для f_{SS} и (13) для перемежаемости γ . Кроме того, константы модели были оптимизированы на задачах о переходном пограничном слое с градиентом давления серии ТЗС [15]:

$$\begin{aligned} A_\gamma &= 1,3, \quad C_S = 2,0, \quad C_A = 1,0, \quad C_\psi = 10,0, \quad C_W = 5,0, \\ C_{sep} &= 2,0, \quad A_V = 550,0, \quad a_1 = 0,31, \quad a_2 = 0,45. \end{aligned} \quad (14)$$

Тестирование полученной модели SST KD в режиме RANS на двумерных задачах, в которых существенную роль играет ламинарно-турбулентный переход, показали, что предложенная модель существенно превосходит по точности оригинальную модель k - ω KD [8].

Метод DDES SST KD. Предложенная алгебраическая модель перехода SST KD вместе с методом DDES [2] послужили основой для метода DDES SST KD, предназначенного для расчета отрывных течений при наличии ламинарно-турбулентного перехода в присоединенном пограничном слое. В предлагаемом методе используется версия DDES, использующая линейный подсеточный масштаб, адаптированный к слоям смешения (DDES Δ SLA [16]). Данная модификация подсеточного масштаба направлена на ускорение перехода к развитой трехмерной турбулентности на начальных участках слоев смешения и позволяет существенно повысить точность расчета отрывных течений без увеличения расчетной сетки и, как следствие, вычислительных затрат.

В модель перехода для работы в рамках вихререзающего метода внесена дополнительная модификация, блокирующая использование модели перехода вне пограничного слоя:

$$\gamma = 1,0 \text{ при } F_1 < 0,9, \quad (15)$$

где F_1 – функция модели SST (см. формулу (2)).

Применение разработанного подхода для предсказания кризиса сопротивления

Кризис сопротивления при обтекании цилиндра. Рассматривается нестационарное поперечное обтекание круглого цилиндра несжимаемой жидкостью в диапазоне значений числа Рейнольдса от $5,0 \cdot 10^4$ до $1,2 \cdot 10^6$; число построено по диаметру D_c цилиндра и скорости набегающего потока U_0 ($Re = D_c U_0 / \nu$).

Такой диапазон полностью охватывает кризис сопротивления, который наблюдается в области значений $1,3 \cdot 10^5 < Re < 5,0 \cdot 10^5$ [17].

Расчетная область представляет собой цилиндр с радиусом $25D_c$, где D_c – диаметр обтекаемого цилиндра, и центром в точке $(x, y) = (0,0, 0,0)$. Длина расчетной области в поперечном направлении z составляет $L_z = 5 D_c$, что больше величины πD_c , обычно используемой в таких расчетах (см., например, работы [18, 19]), и не должно негативно влиять на результат.

В связи с тем, что в модели SST кинетическая энергия турбулентности в однородном турбулентном течении убывает (диссипирует), обычно для того, чтобы турбулентные характеристики в окрестности обтекаемого тела соответствовали неким необходимым значениям, граничные условия для уравнений модели турбулентности необходимо скорректировать. Такие значения на входе в расчетную область можно получить из аналитического решения уравнений модели SST в однородном потоке по следующим формулам:

Таблица 1
Граничные условия для характеристик турбулентности в задаче об обтекании цилиндра

Re, 10^4	ν_t/ν	Tu, %
5,0	0,30	0,40
8,0	0,30	0,55
10	0,36	0,60
13	0,45	0,64
17	0,56	0,73
20	0,65	0,77
25	0,79	0,95
30	0,94	1,00
40	1,25	1,02
50	1,55	1,15
70	2,16	1,35
90	2,75	1,55
120	3,65	1,70

Обозначения: Re – число Рейнольдса ν_t – турбулентная вязкость, ν – кинематический коэффициент вязкости, Tu – интенсивность турбулентности.

$$k = c_2 (\beta x + c_1)^{-\frac{\beta^*}{\beta}}, \quad (16)$$

$$\omega = \frac{1}{\beta x + c_1}, \quad (17)$$

где x – координата вдоль течения в свободном потоке; c_1, c_2 – константы интегрирования, получаемые из граничных значений; значения констант β и β^* приведены выше.

При достаточно больших продольных размерах расчетной области, уравнения не имеют конечного аналитического решения. В таких случаях характеристики турбулентности «замораживаются» до определенной точки вверх по потоку от тела, затем «отпускаются» и диссипируют до необходимых значений.

В данной задаче для обеспечения интенсивности турбулентности $Tu = 0,45\%$ ($Tu = 100[(2/3)k]^{1/2}/U_0$) в окрестности среднего сечения цилиндра характеристики турбулентности замораживались до сечения $x = -2D_c$, а их входные значения вычислялись по формулам (16), (17) (табл. 1). На выходной границе задавалось постоянное давление, а на поверхности цилиндра использовались условия прилипания и непроницаемости $u_w = v_w = w_w = 0$. Для турбулентных характеристик на стенке задавались стандартные для модели SST условия:

$$k_w = 0, \omega_w = 10 \frac{6\nu}{\beta_1 \Delta_1^2},$$

где Δ_1 – величина первого пристеночного шага сетки.

Наконец, в поперечном направлении использовались периодические граничные условия.

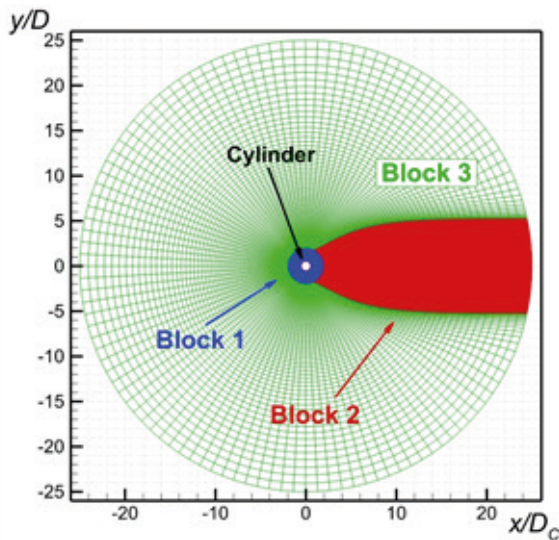


Рис. 1. Три блока расчетных сеток (показаны разными цветами) в задаче об обтекании круглого цилиндра (сечение $z = 0$)

Расчетные сетки состояли из трех расчетных блоков (рис. 1). 1-й блок содержал измельченную сетку для расчета высоких градиентов величин вблизи поверхности цилиндра, 2-й был измельчен для расчета следа за цилиндром. На 3-й блок приходилось однородное невозмущенное течение без нестационарных пульсаций, и он содержал самую грубую сетку.

Для расчетов при различных диапазонах чисел Рейнольдса, характеризующихся величиной первого пристеночного шага, всего было построено три сетки: I, II и III (табл. 2).

Шаг по времени Δt был равен $5 \cdot 10^{-3} \cdot D_c / U_0$, что обеспечивало значение критерия Куранта – Фридрихса – Леви (CFL), меньшее единицы в отрывной зоне, в следе за цилиндром. Осреднение решения проводилось после установления течения на временных промежутках длительностью порядка $50 \cdot D_c / U_0$.

На рис. 2 приведено сравнение полученных расчетных зависимостей коэффициента сопротивления $C_D = F_x / [(5/2)\rho U_0^2]$ (F_x – сила сопротивления, действующая на цилиндр, ρ – плотность) от числа Рейнольдса с экспериментальными данными [20 – 26].

Данное течение наглядно демонстрирует преимущество предложенного гибридного метода над оригинальным подходом DDES SST. Видно, что благодаря использованию модели перехода расчетные значения коэффициента сопротивления оказываются ближе к экспериментальным значениям. Однако полного совпадения с экспериментальными данными достичь не удалось; в частности, снижение расчетного коэффициента сопротивления в окрестности критического числа Рейнольдса происходит существенно медленнее, чем в экспериментальных зависимостях. Причины такого поведения требуют дальнейшего изучения и выходят за рамки данной статьи.

Таблица 2

Параметры расчетных сеток в задаче об обтекании цилиндра

№	Диапазон Re, 10^4	Размер блока			Общее количество ячеек
		1-го	2-го	3-го	
I	5,0 – 20	512×161×60	200×184×256	131×101×52	56, 270, 732
II	25 – 60	512×191×560	200×184×256	131×101×52	64, 872, 332
III	70 – 120	512×221×560	200×184×256	131×101×52	73, 473, 932

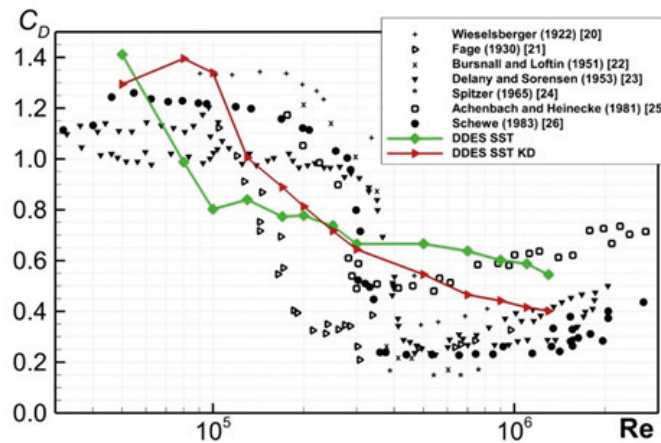


Рис. 2. Сравнение расчетных зависимостей (сплошные линии) коэффициента сопротивления круглого цилиндра от числа Рейнольдса с экспериментальными данными (символы) [20 – 26]

Кризис сопротивления при обтекании сферы. Рассматривается нестационарное обтекание сферы несжимаемой жидкостью в диапазоне значений числа Рейнольдса от $5,0 \cdot 10^4$ до $4,0 \cdot 10^5$, построенного по диаметру D_s сферы и скорости набегающего потока U_0 ($Re = D_s U_0 / \nu$).

Расчетная область представляет собой сферу с радиусом $20D_s$. Граничные условия задавались так же, как и при решении задачи об обтекании цилиндра. Единственное отличие состояло в выборе входных значений турбулентных характеристик: они подбирались с условием, обеспечивающим интенсивность турбулентности 0,45 % в окрестности среднего сечения сферы (табл. 3).

Таблица 3

Граничные условия для характеристик турбулентности в задаче об обтекании сферы

$Re, 10^4$	v_t/ν	$Tu, \%$
5,0	0,35	1,2
10	0,70	1,2
20	1,40	1,4
40	2,8	1,6
60	4,2	1,7
100	7,0	1,9

Обозначения величин идентичны приведенным в табл. 1

Общее количество ячеек сетки составило около 16 млн. Серия предварительных расчетов, проведенных методами DDES SST и DDES SST KD при $Re = 1,0 \cdot 10^5$, показала, что с измельчением сетки в 1,5 раза по каждому направлению (размер этой сетки составляет около 46 млн.) осредненное по времени решение не изменяется.

Шаг по времени был взят равным $\Delta t = 5 \cdot 10^{-3} D_s / U_0$, что обеспечивает, как и в задаче о цилиндре, значение числа Куранта $CFL < 1$ в отрывной зоне за сферой. Дополнительные расчеты показали, что с измельчением шага по времени осредненное решение не меняется. Осреднение решения проводилось после установления течения на временных промежутках длительностью порядка $50 \cdot D_s / U_0$.

Расчетная сетка состояла из шести блоков (рис. 3). Блоки с 1-го по 3-й прилегали к поверхности сферы и характеризуются мелкими шагами сетки (на окружность сферы приходилось 514 ячеек), а во внешних блоках (с 4-го по 6-й) шаги сетки были примерно в 3 раза больше. 1-й и 4-й блоки имеют цилиндрическую форму и характеризуются осевой симметрией относительно оси x (рис. 3, *b*). Остальные сеточные блоки имеют форму усеченной пирамиды и позволяют избежать необоснованного сгущения в окрестности оси симметрии 1-го и 4-го блоков (рис. 4).

Шаги сетки были измельчены к поверхности сферы и в области следа. Как и при решении задачи об обтекании цилиндра, была построена серия сеток для расчетов при различных числах Рейнольдса, отличающихся первым пристенным шагом. Об-

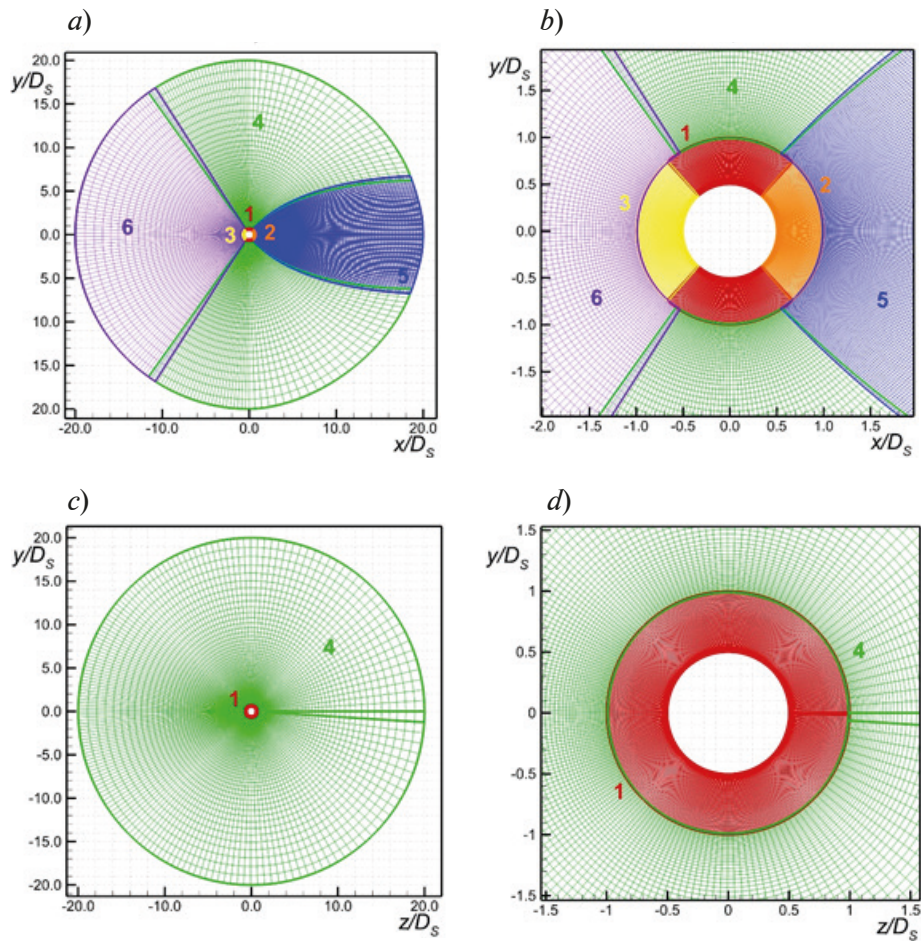


Рис. 3. Блоки расчетных сеток (пронумерованы и показаны разными цветами) в задаче об обтекании сферы. Приведены сечения $z = 0$ (a, b) и $x = 0$ (c, d); b, d – увеличенные изображения центральных областей графиков a и c соответственно

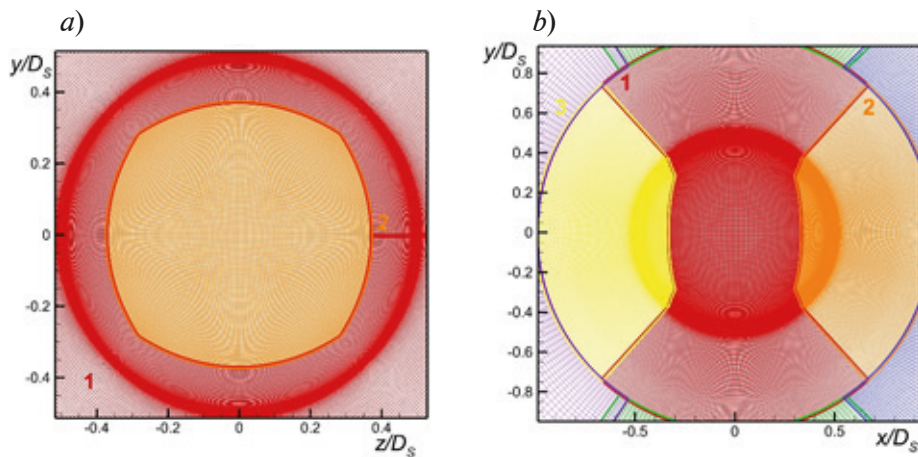


Рис. 4. Расчетные сетки в сечениях $x = 0$ (a) и $z = 0$ (b) в задаче об обтекании сферы. Поверхностные сетки спроецированы на соответствующие сечения

На рис. 5 приведено сравнение расчетных зависимостей коэффициента сопротивления $C_D = F_x / [(1/2)\rho U_0^2 \cdot (1/4)\pi D_s^2]$ от числа Рейнольдса с экспериментальными данными (F_x – сила сопротивления, действующая на сферу).

Результаты расчетов сравнивались с экспериментальными данными, представленными в работах [27 – 28] и эмпирическими корреляциями [29].

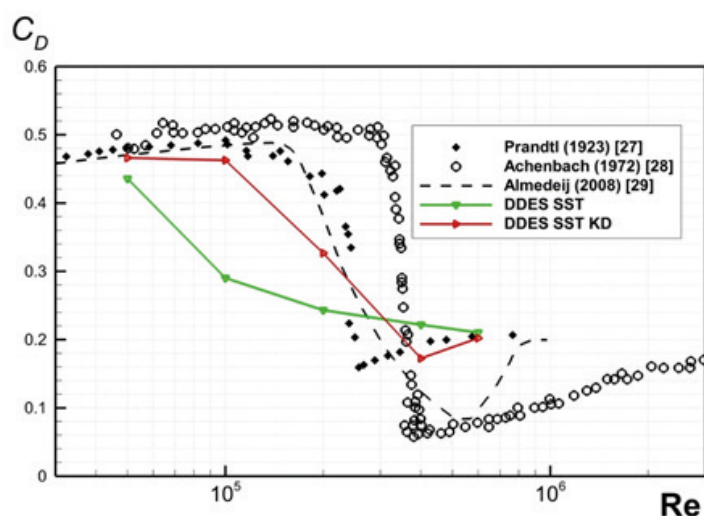


Рис. 5. Сравнение расчетных зависимостей (сплошные линии) коэффициента сопротивления сферы от числа Рейнольдса с экспериментальными данными (символы) [27 – 28] и эмпирическими корреляциями [29]

В первую очередь следует отметить, что использование предлагаемого метода позволяет значительно повысить точность расчета для всех рассмотренных значений числа Рейнольдса. Оригинальный метод DDES SST практически не предсказывает снижения коэффициента сопротивления, связанного с кризисом сопротивления по мере роста числа Рейнольдса в области значений $1 \cdot 10^5 < Re < 4 \cdot 10^5$, тогда как предложенный метод позволяет его качественное описание. В то же время наблюдается некое количественное различие результатов расчета по предлагаемому методу с экспериментальными данными, которое проявляется, в первую очередь (как и в задаче об обтекании цилиндра), в более медленном падении расчетного коэффициента сопротивления в окрестности критического значения числа Рейнольдса.

Заключение

Предложен новый глобальный гибридный вихререзающий подход DDS SST KD, предназначенный для расчета отрывных течений при наличии перехода в присоединенном пограничном слое. Подход базируется на предложенной авторами модели перехода, основанной на полуэмпирической модели турбулентности SST и алгебраической модели перехода $k-\omega$ KD.

На примерах задач об обтекании цилиндра и сферы в широком диапазоне чисел Рейнольдса продемонстрировано преимущество предложенного подхода над оригинальным методом DDES SST.

СПИСОК ЛИТЕРАТУРЫ

1. **Гарбарук А. В.** Современные подходы к моделированию турбулентности. СПб.: Изд-во Политехнического ун-та, 2016. 233 с.
2. **Spalart P. R., Deck S., Shur M. L., Squires K., Strelets M., Travin A.** A new version of Detached-Eddy Simulation, resistant to ambiguous grid densities // *Theoretical Computational Fluid Dynamics*. 2006. Vol. 20. No. 3. Pp. 181–195.
3. **Menter F. R., Kuntz M., Langtry R.** Ten years of industrial experience with the SST turbulence model // *Heat and Mass Transfer*. 2003. Vol. 4. January. Pp. 1–9.
4. **Лойцянский Л. Г.** Механика жидкости и газа. Москва-Ленинград: Гостехиздат, 1950. 676 с.
5. **Langtry R. B., Menter F. R.** Correlation-based transition modeling for unstructured parallelized computational fluid dynamics codes // *AIAA Journal (American Institute of Aeronautics and Astronautics)*. 2009. Vol. 47. No. 12. Pp. 2894–2906.

6. **Wauters J., Degroote J.** On the study of transitional low-Reynolds number flows over airfoils operating at high angles of attack and their prediction using transitional turbulence models // *Progress in Aerospace Sciences*. 2018. Vol. 103. November. Pp. 52–68.
7. **Lopes R., Eça L., Vaz G.** On the numerical behavior of RANS-based transition models // *Journal of Fluids Engineering*. 2020. Vol. 142. No. 5. P. 051503.
8. **Kubacki S., Dick E.** An algebraic model for bypass transition in turbomachinery boundary layer flows // *International Journal of Heat and Fluid Flow*. 2016. Vol. 58. April. Pp. 68–83.
9. **Wilcox D. C.** Formulation of the $k-\omega$ turbulence model revisited // *AIAA Journal*. (American Institute of Aeronautics and Astronautics). 2008. Vol. 46. No. 11. Pp. 2823–2838.
10. **Shur M., Strelets M., Travin A.** High-order implicit multi-block Navier – Stokes code: Ten-years experience of application to RANS/DES/LES/DNS of turbulent flows (invited lecture) // *Proceeding of the 7th Symposium on Overset Composite Grids and Solution Technology*. October 5–7, Huntington Beach, USA. 2004.
11. **Rogers S., Kwak D.** An upwind differencing scheme for the time-accurate incompressible Navier – Stokes equations // *Proceeding of the 6th Applied Aerodynamics Conference*. Williamsburg, USA: American Institute of Aeronautics and Astronautics, 1988, November. Report No. NASA-TM-101051.
12. **Chorin A. J.** A numerical method for solving incompressible viscous flow problems // *Journal of Computational Physics*. 1967. Vol. 2. No. 1. Pp. 12–26.
13. **Travin A., Shur M., Strelets M., Spalart P. R.** Physical and numerical upgrades in the Detached-Eddy Simulation of complex turbulent flows // *Advances in LES of Complex Flows*. Vol. 65. Edited by Friedrich R., Rodi W. Dordrecht: Springer Netherlands, 2002. Pp. 239–254.
14. **Menter F. R., Smirnov P. E., Liu T., Avancha R.** A one-equation local correlation-based transition model // *Flow, Turbulence and Combustion*. 2015. Vol. 95. No. 4. Pp. 583–619.
15. **Savill A. M.** Evaluating turbulence model predictions of transition: An ERCOFTAC special interest group project // *Applied Scientific Research*. 1993. Vol. 51. No. 1–2. Pp. 555–562.
16. **Probst A., Schwamborn D., Garbaruk A., Guseva E., Shur M., Strelets M., Travin A.** Evaluation of grey area mitigation tools within zonal and non-zonal RANS-LES approaches in flows with pressure induced separation // *International Journal of Heat and Fluid Flow*. 2017. Vol. 68. December. Pp. 237–247.
17. **Smith A. M. O., Gamberoni N.** Transition, pressure gradient and stability theory. Technical Report ES-26388. Santa Monica, California, USA: Douglas Aircraft Company, El Segundo Division, 1956. 59 p.
18. **Pereira F. S., Vaz G., Eça L.** An assessment of scale-resolving simulation models for the flow around a circular cylinder // *Proceeding of the Eighth International Symposium on Turbulence Heat and Mass Transfer (THMT-15)*, September 15–18. Sarajevo, Bosnia and Herzegovina: Begellhouse, 2015. Pp. 295–298.
19. **Pereira F. S., Vaz G., Eça L.** Flow past a circular cylinder: A comparison between RANS and hybrid turbulence models for a low Reynolds number // *Proceeding of the ASME 2015: 34th International Conference on Ocean, Offshore and Arctic Engineering*, May 31 – June 5, 2015, St. John's, Newfoundland, Canada. Vol. 2: CFD and VIV. American Society of Mechanical Engineers, 2015. Paper No. OMAE2015-41235, V002T08A006 (11 p.).
20. **Wieselsberger C.** New data on the laws of fluid resistance. Tech. Rep. Number NACA-TN-84. Work of the US Gov. Public Use Permitted, 1922, March 1. ID 19930080855.pdf.
21. **Fage A.** The drag of circular cylinders and spheres at high values of Reynolds number // *Tech. Rep., Reports & Memoranda*, No. 1370. London: Aeronautical Research Committee, May, 1930. 12 p.
22. **Burns W., Loftin L. K. Jr.** Experimental investigation of the pressure distribution about a yawed circular cylinder in the critical Reynolds number range // *Tech. Rep. NACA-TN-2463*. Washington: National Advisory Committee for Aeronautics (NACA), September, 1951. 34 p.
23. **Delany N., Sorensen N.** Low-speed drag of cylinders of various shapes // *Tech. Rep. NACA TN-3038*, Washington: National Advisory Committee for Aeronautics (NACA), 1953. 36 p.
24. **Spitzer R.** Measurements of unsteady pressures and wake fluctuations for flow over a cylinder at supercritical Reynolds number. Ph.D. thesis, Pasadena (USA): California Institute of Technology, 1965. 93 p.
25. **Achenbach E., Heinecke E.** On vortex shedding from smooth and rough cylinders in the range

of Reynolds numbers 6×10^3 to 5×10^6 // *Journal of Fluid Mechanics*. 1981. Vol. 109. August. Pp. 239–251.

26. **Schewe G.** On the force fluctuations acting on a circular cylinder in crossflow from subcritical up to transcritical Reynolds numbers // *Journal of Fluid Mechanics*. 1983. Vol. 133. Pp. 265–285.

27. **Prandtl L.** Ergebnisse der Aerodynamischen Versuchsanstalt zu Göttingen. II. Lieferung. Der induzierte Widerstand von Mehrdeckern, 1923. S. 9–16.

28. **Achenbach E.** Experiments on the flow past spheres at very high Reynolds numbers // *Journal of Fluid Mechanics*. 1972. Vol. 54. No. 3. Pp. 565–575.

29. **Almedeij J.** Drag coefficient of flow around a sphere: Matching asymptotically the wide trend // *Powder Technology*. 2008. Vol. 186. No. 3. Pp. 218–223.

REFERENCES

1. **Garbaruk A. V.**, *Sovremennyye podkhody k modelirovaniyu turbulentnosti* [Modern approaches to the turbulence simulation], Polytechnic University Publishing, St. Petersburg, 2016.

2. **Spalart P. R., Deck S., Shur M. L., et al.**, A new version of Detached-Eddy Simulation, resistant to ambiguous grid densities, *Theoret. Comput. Fluid Dynamics*. 20 (3) (2006) 181–195.

3. **Menter F. R., Kuntz M., Langtry R.**, Ten years of industrial experience with the SST turbulence model, *Heat & Mass Transfer*. 2003. Vol. 4 (January) (2003) 1–9.

4. **Loytsyanskiy L.G.**, *Mekhanika zhidkosti i gaza* [Fluids and gas mechanics], Gostechizdat, Moscow-Leningrad, 1950 (in Russian).

5. **Langtry R. B., Menter F. R.**, Correlation-based transition modeling for unstructured parallelized computational fluid dynamics codes, *AIAA Journal*. 47 (12) (2009) 2894–2906.

6. **Wauters J., Degroote J.**, On the study of transitional low-Reynolds number flows over airfoils operating at high angles of attack and their prediction using transitional turbulence models, *Prog. Aerosp. Sci.* 103 (November) (2018) 52–68.

7. **Lopes R., Eça L., Vaz G.**, On the numerical behavior of RANS-based transition models, *J. Fluids Eng.* 142 (5) (2020) 051503.

8. **Kubacki S., Dick E.**, An algebraic model for bypass transition in turbomachinery boundary layer flows, *Int. J. Heat Fluid Flow*. 58 (April) (2016) 68–83.

9. **Wilcox D. C.**, Formulation of the $k-\omega$ turbulence model revisited, *AIAA Journal*. 46 (11) (2008) 2823–2838.

10. **Shur M., Strelets M., Travin A.**, High-order implicit multi-block Navier – Stokes code: Ten-years experience of application to RANS/DES/LES/DNS of turbulent flows (invited lecture), In: *Proceeding of the 7th Symposium on Overset Composite Grids and Solution Technology*, Oct. 5–7, Huntington Beach, USA, 2004.

11. **Rogers S., Kwak D.**, An upwind differencing scheme for the time-accurate incompressible Navier – Stokes equations, In: *Proceeding of the 6th Applied Aerodynamics Conference*, American Institute of Aeronautics and Astronautics, Williamsburg, USA, 1988, November, Rep. No. NASA-TM-101051.

12. **Chorin A. J.**, A numerical method for solving incompressible viscous flow problems, *J. Comput. Phys.* 2 (1) (1967) 12–26.

13. **Travin A., Shur M., Strelets M., Spalart P. R.**, Physical and numerical upgrades in the Detached-Eddy Simulation of complex turbulent flows, In book: *Advances in LES of Complex Flows*, Vol. 65. Ed. by Friedrich R., Rodi W., Springer Netherlands, Dordrecht (2002) 239–254.

14. **Menter F. R., Smirnov P. E., Liu T., Avancha R.**, A one-equation local correlation-based transition model, *Flow, Turb. Combust.* 95 (4) (2015) 583–619.

15. **Savill A. M.**, Evaluating turbulence model predictions of transition: An ERCOFTAC special interest group project, *Appl. Sci. Res.* 51 (1–2) (1993) 555–562.

16. **Probst A., Schwaborn D., Garbaruk A., et al.**, Evaluation of grey area mitigation tools within zonal and non-zonal RANS-LES approaches in flows with pressure induced separation, *Int. J. Heat Fluid Flow*. 68 (December) (2017) 237–247.

17. **Smith A. M. O., Gamberoni N.**, Transition, pressure gradient and stability theory, Techn. Rep. ES-26388, Douglas Aircraft Company, El Segundo Division, Santa Monica, California, USA, 1956.

18. **Pereira F. S., Vaz G., Eça L.**, An assessment of scale-resolving simulation models for the flow around a circular cylinder, In: *Proc. Eighth Int. Symp. Turbulence, Heat and Mass Transfer*

(ТНМТ-15), Sept. 15–18, Begellhouse, Sarajevo, Bosnia and Herzegovina (2015) 295–298.

19. **Pereira F. S., Vaz G., Eça L.**, Flow past a circular cylinder: A comparison between RANS and hybrid turbulence models for a low Reynolds number, In: Proc. ASME 2015: 34th Int. Conf. Ocean, Offshore & Arctic Eng., May 31–June 5, 2015, St. John's, Newfoundland, Canada. Vol. 2: CFD and VIV, ASME, 2015. P. No. OMAE2015-41235, V002T08A006.

20. **Wieselsberger C.**, New data on the laws of fluid resistance, Tech. Rep. Number NACA-TN-84, NACA, 1922, March 1, ID 19930080855.pdf.

21. **Fage A.**, The drag of circular cylinders and spheres at high values of Reynolds number (Tech. Rep.), Reports & Memoranda, No. 1370, Aeronautical Research Committee, London, May, 1930.

22. **Burns W., Loftin L. K. Jr.**, Experimental investigation of the pressure distribution about a yawed circular cylinder in the critical Reynolds number range, Tech. Rep. NACA-TN-2463, NACA, Washington, September, 1951.

23. **Delany N., Sorensen N.**, Low-speed drag of cylinders of various shapes // Tech. Rep. NACA TN-3038, NACA, Washington, 1953.

24. **Spitzer R.**, Measurements of unsteady pressures and wake fluctuations for flow over a cylinder at supercritical Reynolds number, Ph.D. thesis, California Institute of Technology, Pasadena, USA, 1965.

25. **Achenbach E., Heinecke E.**, On vortex shedding from smooth and rough cylinders in the range of Reynolds numbers 6×10^3 to 5×10^6 , J. Fluid Mech. 109 (August) (1981) 239–251.

26. **Schewe G.**, On the force fluctuations acting on a circular cylinder in crossflow from subcritical up to transcritical Reynolds numbers, J. Fluid Mech. 133 (1983) 265–285.

27. **Prandtl L.**, Ergebnisse der Aerodynamischen Versuchsanstalt zu Göttingen, II. Lieferung. Der induzierte Widerstand von Mehrdeckern (1923) 9–16.

28. **Achenbach E.**, Experiments on the flow past spheres at very high Reynolds numbers, J. Fluid Mech. 54 (3) (1972) 565–575.

29. **Almedeij J.**, Drag coefficient of flow around a sphere: Matching asymptotically the wide trend, Powder Technol. 186 (3) (2008) 218–223.

СВЕДЕНИЯ ОБ АВТОРАХ

СТАБНИКОВ Андрей Сергеевич – аспирант высшей школы математики и вычислительной физики Санкт-Петербургского политехнического университета Петра Великого, Санкт-Петербург, Россия.

195251, Россия, г. Санкт-Петербург, Политехническая ул., 29

an.stabnikov@gmail.com

ORCID: 0000-0001-7011-6197

ГАРБАРУК Андрей Викторович – доктор физико-математических наук, доцент высшей школы математики и вычислительной физики Санкт-Петербургского политехнического университета Петра Великого, Санкт-Петербург, Россия.

195251, Россия, г. Санкт-Петербург, Политехническая ул., 29

agarbaruk@mail.ru

ORCID: 0000-0002-2775-9864

THE AUTHORS

STABNIKOV Andrey S.

Peter the Great St. Petersburg Polytechnic University

29 Politechnicheskaya St., St. Petersburg, 195251, Russia

an.stabnikov@gmail.com

ORCID: 0000-0001-7011-6197



GARBARUK Andrey V.

Peter the Great St. Petersburg Polytechnic University

29 Politechnicheskaya St., St. Petersburg, 195251, Russia

agarbaruk@cfд.spbstu.ru

ORCID: 0000-0002-2775-9864

*Статья поступила в редакцию 29.09.2021. Одобрена после рецензирования 29.12.2021.
Принята 10.01.2022.*

Received 29.09.2021. Approved after reviewing 29.12.2021. Accepted 10.01.2022.